

Краткие сообщения по физике № 3 март 1972

СПЕКТР СОЛНЕЧНОЙ ВСПЫШКИ В ОБЛАСТИ $1,85 + 1,87 \text{ \AA}$

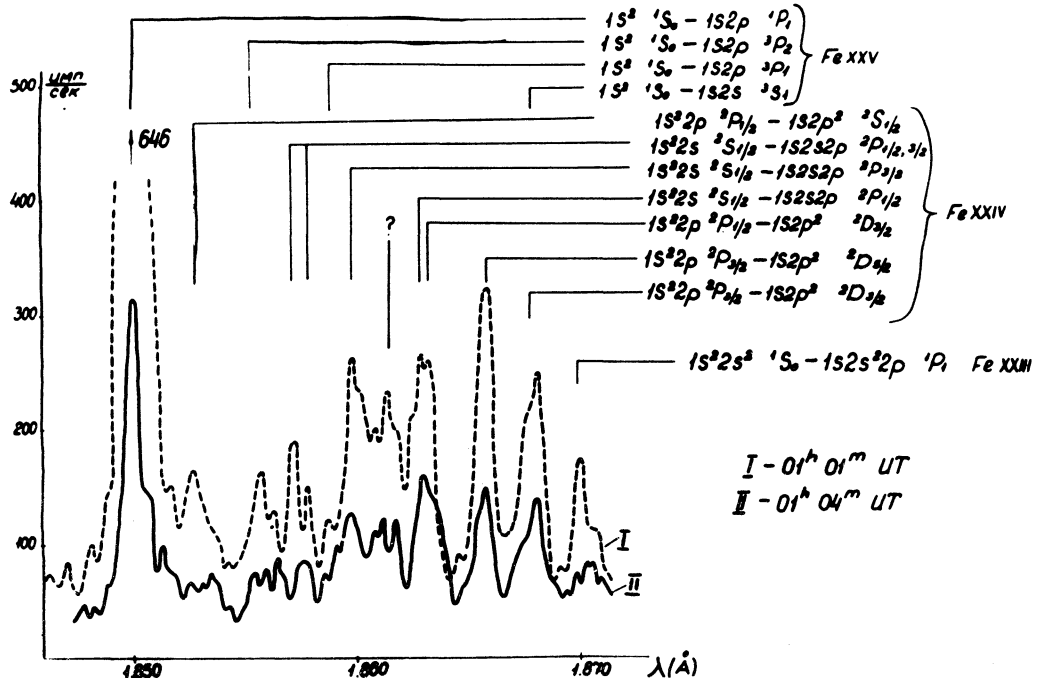
Б. Н. Васильев, Ю. И. Гринева, И. А. Житник,
В. И. Карев, В. В. Корнеев, В. В. Крутов,
С. Л. Мандельштам

В работах /1,2/ было показано, что в солнечном рентгеновском спектре в области $1,9 \text{ \AA}$ во время вспышек наблюдается значительный максимум интенсивности, имеющий сложную спектральную структуру, а в /3/ было предложено отождествление 6 линий ионов $\text{Fe}^{XXII} - \text{Fe}^{XXV}$. Однако, достигнутое в этих работах спектральное разрешение явно недостаточно для четкой идентификации линий и физической интерпретации результатов.

На спутнике "Интеркосмос-4", запущенном 14 октября 1970 г. и проработавшем около двух месяцев, нами был проведен эксперимент по получению спектров вспышек в области $1,75 + 1,95 \text{ \AA}$ с более высоким разрешением и с точностью определения абсолютных длин волн не хуже $0,001\text{\AA}$.

Исследования проводились с помощью спектрометров Брэгга, диспергирующими элементами в которых служили плоские кристаллы кварца с постоянными решетками $d = 1,1776 \text{ \AA}$ и $4,246 \text{ \AA}$, а приемниками излучения — счетчики Гейгера, заполненные аргоном, с окнами из Ве ($160 \text{ мг}/\text{см}^2$). Полуширины кривых отражения кристаллов $\sim 10''$. Разворотка по спектру осуществлялась за счет сканирования ориентированной на Солнце оси спутника в пределах $\pm 40'$ с постоянной для каждого скана скоростью. От скана к скану скорость могла меняться от $0,5'/\text{сек}$ до $3'/\text{сек}$. Постоянная времени электронной схемы в режиме запоминания информации составляла $0,7$ сек.

Всего за время работы спутника получено около 15 интенсивных спектров вспышек. Ниже будут рассмотрены два спектра (рис. I), полученные в $01^h 01^m$ и $01^h 04^m 16.11.70$ во время вспыш-



Р и с. I. Спектры вспышки 2В 16.II. 1970г., зарегистрированные со спутника "Интеркосмос-4" в $01^h 01^m$ и $01^h 04^m$ UT.

ки класса 2В (начало 00^h 45^m, максимум 00^h 52^m). Спектральное разрешение на обеих регистрациях $\sim 4 \cdot 10^{-4} \text{ \AA}$ ^{*}). Привязка спектра по длинам волн проводилась по показаниям рентгеновского гелиографа (8–12 Å) с механическим коллиматором, который позволял для трех моментов сканирования, соответствующих пересечению одним из щелевых полей зрения гелиографа области вспышки, определять угол падения излучения на отражающую плоскость кристалла с точностью $\sim 1'$. В спектрометре с $d = 1,1776 \text{ Kx}$ таким образом фиксировались длины волн 1,850; 1,854 и 1,858 Å с возможной ошибкой $\pm 4 \cdot 10^{-4} \text{ \AA}$. С использованием этих реперных точек и значений скорости сканирования, определенных по специальному оптическому датчику, были определены длины волн линий. На обеих спектrogramмах большинство интенсивных линий достаточно хорошо совпадают; некоторое отличие вида спектра в области 1,853 + 1,858 Å скорее всего объясняется возможными статистическими флуктуациями в линиях с относительно низкой интенсивностью, хотя последняя заметно выше интенсивности в области спектра без линий (короче 1,850 Å) – 40 и 25 имп/сек для записи в 01^m и 04^m соответственно.

В таблице I представлены основные результаты обработки спектров рис. I. В первом столбце даны экспериментальные значения длин волн (с точностью до $5 \cdot 10^{-4} \text{ \AA}$) наиболее интенсивных линий, в 3, 4 и 2 столбцах указаны интерпретация и длина волны перехода по /4,6/.

В интервал от 1,850 до 1,870 Å попадают линии Не-подобного иона Fe~~XXV~~: резонансная $^1S_0 - ^1P_1$, интеркомбинационная $^1S_0 - ^3P_1$, запрещенная $^1S_0 - ^3S_1$ и линия, соответствующая магнито-квадрупольному переходу $^1S_0 - ^3P_2$. Отметим, что магнито-квадрупольное излучение, очевидно, вообще наблюдается впервые. Остальные линии вызваны переходами с автоионизационных уровней Fe~~XXIV~~ и Fe~~XXIII~~. Эти линии (сателлиты) образуются путем возбуждения внутренней оболочки или путем диэлектронной рекомбинации (подробнее см. /4/) и в данном случае, как видно, имеют интенсивность, сравнимую с интенсивностью линий Fe~~XXV~~.

*.) Приведенная на рис. I запись для 04^m отличается от опубликованной в /5/ более детальной обработкой.

Экспериментальные и теоретические значения длин волн линий, приведенных в таблице, совпадают в пределах точности эксперимента и расчета ($\sim 5 \cdot 10^{-4}$ Å). В соответствии с отождествлением наблюдаемый на рис. I контур линий I, 863 Å имеет сложную

Таблица I

$\lambda_{\text{эксп}}$ Å	$\lambda_{\text{теор}}$ Å	Ион	Переход	$I \cdot 10^5$ $\frac{\text{амп} \cdot \text{см}^2 \cdot \text{сек}}{\text{атомар. см}}$	lср	lтеор
1,850	1,850	Fe <u>XXV</u>	$1s^2$	$'S_0 - 1s2p$ $'P_1$	90,0	100
1,8525	1,852	Fe <u>XXIV</u>	$1s^2 2p$	$'P_{1/2} - 1s2p^2$ $'S_{1/2}$ 19,0 ^{**)}	21	2,4
1,8555	1,855	Fe <u>XXV</u>	$1s^2$	$'S_0 - 1s2p$ $'P_2$ 19,0 ^{**)}	21	17
1,857	1,857	Fe <u>XXIV</u>	$1s^2 2s$	$'S_{1/2} - 1s2p2s$ $'P_{1/2}$	21,0	23
1,858	1,8575	Fe <u>XXIV</u>	$1s^2 2p$	$'P_{3/2} - 1s2p^2$ $'P_{1/2}$	13,5	15
1,8585	1,859	Fe <u>XXV</u>	$1s^2$	$'S_0 - 1s2p$ $'D_2$	6,0?	7?
1,860	1,8605	Fe <u>XXIV</u>	$1s^2 2s$	$'S_{1/2} - 1s2p2s$ $'P_{3/2}$	22,5	20
1,8615					19,5	22
	1,862	Fe <u>XXIV</u>	$1s^2 2p$	$'P_{3/2} - 1s2p^2$ $'P_{3/2}$	7,5	8,0
1,863	1,863	Fe <u>XXIV</u>	$1s^2 2s$	$'S_{1/2} - 1s2p2s$ $'P_{1/2}$	12	13,0
	1,863	Fe <u>XXIV</u>	$1s^2 2p$	$'P_{1/2} - 1s2p^2$ $'D_{3/2}$	24	26,0
1,866	1,8655	Fe <u>XXIV</u>	$1s^2 2p$	$'P_{3/2} - 1s2p^2$ $'D_{5/2}$	43,5	48
1,868	1,868	Fe <u>XXV</u>	$1s^2$	$'S_0 - 1s2s$ $'S_0$	34,5	38
	1,867	Fe <u>XXIV</u>	$1s^2 2p$	$'P_{3/2} - 1s2p^2$ $'D_{5/2}$		28
1,870	1,870	Fe <u>XXIII</u>	$1s^2 2s^2$	$'S_0 - 1s2s2p$ $'P_1$	15,5	17
						11

^{**)} Пиковая интенсивность, контур шире допплеровского.

структуре. Сравнение полученных результатов с /3/ показывает, что в /3/ точно отождествлена только резонансная линия Fe XXV. В столбце 5 приведены абсолютные интенсивности линий для спектра ОГ^{III} за вычетом фона при $\lambda < 1,850$ Å. Там, где этоказалось возможным, проведено разделение накладывающихся линий. В столбцах 6, 7 сопоставляются наблюденные и расчетные /4/ интенсивности линий. Температура области вспышки была определена

по относительной интенсивности линии I,866 Å и равна $17 \cdot 10^6$ °К. Как видно, теоретические значения интенсивностей по отношению к I,850 Å как правило несколько ниже, а для линий I,8525 и I,858 Å значительно ниже экспериментальных. По-видимому, отождествление этих линий неправильно. Следует, однако, указать, что при отождествлении не учитывались переходы с уровней $1s2p3l$, которые могут попадать в рассматриваемую область спектра.

Как уже сообщалось ранее /5/, наличие двух спектрометров с существенно различной спектральной дисперсией и гелиографа с механическим коллиматором позволяет разделить спектральное уширение линии и ширину линии, обусловленную размером области вспышки. Для рассматриваемых спектров полуширина линий, связанная с размером области вспышки, меньше $8 \cdot 10^{-4}$ Å, и поэтому практически все максимумы на записях рис. I отвечают отдельным линиям. Спектральная полуширина линии I,866 Å, которая наиболее четко разрешается и имеет большую интенсивность, составляет $8-9 \cdot 10^{-4}$ Å. Это соответствует ионной температуре $20-25 \cdot 10^6$ °К, что близко к полученному выше значению электронной температуры. Мера эмиссии области вспышки, соответствующая абсолютной интенсивности резонансной линии Fe^{XXV} при температуре $17 \cdot 10^6$, согласно /7/ порядка 10^{50} см^{-3} .

В заключение отметим, что линия I,850 Å (скан OI^{III}) имеет сложный спектральный контур, который может быть представлен в виде трех компонент - центральной и двух боковых, отстоящих на $\pm 6 \cdot 10^{-4}$ Å и имеющих сравнимые интенсивности. Возможное объяснение этого факта дано в /4,8/. За интенсивность линии I,850 Å принималась интенсивность центрального максимума.

Авторы выражают благодарность А. Б. Гильваргу и И. А. Циглеру за консультацию при выборе кристаллов и их обработке и профессору М. А. Блохину, в лаборатории которого были измерены кривые отражения кристаллов кварца.

Поступила в редакцию
20 декабря 1971 г.

Л и т е р а т у р а

1. W. M. Neupert, W. Gates, M. Swartz., R. Young. *Aph. J.* 149, L. 79 (1967).

2. J. F. Meekins, R. W. Kreplin, T. A. Chubb, H. Friedman. *Science*, 162, 891 (1968).
3. W. M. Neupert, M. Swartz. *Aph. J.*, 160, 189 (1970).
4. Л. А. Вайнштейн, И. А. Житник, В. В. Корнеев, С. Л. Мандельштам. Краткие сообщения по физике № 3, 35, (1972).
5. Л. А. Вайнштейн, Б. Н. Васильев, Ю. И. Гринева, И. А. Житник, В. И. Карев, В. В. Корнеев, В. В. Крутов, С. Л. Мандельштам. COSPAR XIV; Seattle, 1971.
6. Л. А. Вайнштейн, У. И. Сафонова. Краткие сообщения по физике З, 40, (1972).
7. И. Л. Бейгман, Л. А. Вайнштейн, А. М. Урнов. Препринт ФИАН № 28 (1971).
8. Б. Н. Васильев, Ю. И. Гринева, И. А. Житник, В. И. Карев, В. В. Корнеев, В. В. Крутов, С. Л. Мандельштам. Материалы совещания по солнечной активности, Москва, ИЗМИРАН, 1971 г.